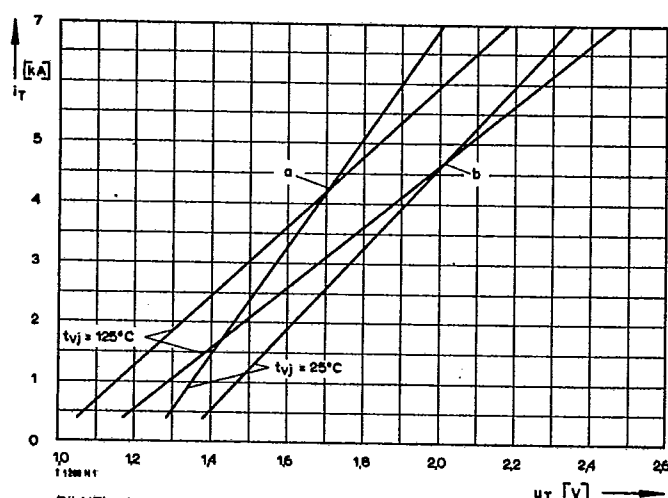


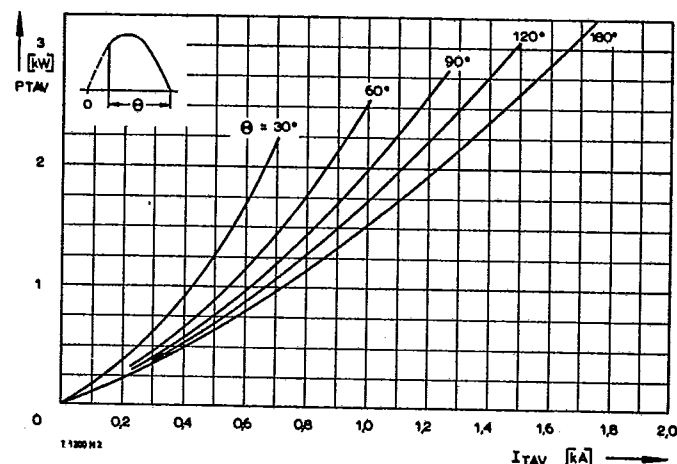
T1200 N

T1209 N

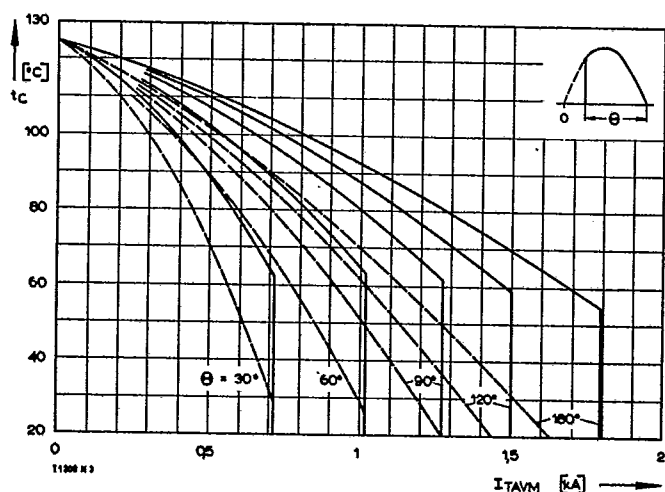
Typenreihe/Type range	T1200 N T1209 N	1200	1400	1600	1800
Elektrische Eigenschaften		Electrical properties			
Höchstzulässige Werte		Maximum permissible values			
U_{DRM} , U_{RRM}	Periodische Vorwärts- und Rückwärts-Spitzenperrspannung	repetitive peak forward off-state and reverse voltages		1200...1800	V
I_{RMSM}	Effektiver Durchlaßstrom	RMS on-state current		2800	A
I_{AVM}	Dauergrenzstrom	average on-state current	$t_c = 85^\circ\text{C}$	1200	A
I_{RM}	Periodischer Spitzenstrom	repetitive peak on-state current	$t_c = 54^\circ\text{C}$	1800	A
I_{SM}	Stoßstrom-Grenzwert	surge current	$t = 10 \text{ ms}, t_d \leq 45^\circ\text{C}$	17	kA
$\int I^2 dt$	Grenzlastintegral	$\int I^2 dt$ -value	$t = 10 \text{ ms}, t_d = 125^\circ\text{C}$	28	kA
$(di/dt)_{cr}$	Kritische Stromsteilheit	critical rate of rise of on-state current	$t = 10 \text{ ms}, t_d \leq 45^\circ\text{C}$	24	kA
$(du/dt)_{cr}$	Kritische Spannungssteilheit	critical rate of rise of off-state voltage	$t = 10 \text{ ms}, t_d = 125^\circ\text{C}$	3920	kA^2s
			$t = 10 \text{ ms}, t_d = 125^\circ\text{C}$	2880	kA^2s
			Dauerbetrieb/continuous operation, $I_{TM} = 4 \text{ kA}$	200	$\text{A}/\mu\text{s}$
			Steuergenerator/pulse generator: $U_L = 10 \text{ V}, i_g = 1 \text{ A}, di_g/dt = 1 \text{ A}/\mu\text{s}$		
			$U_D = 67\% U_{DRM}, t_d = 125^\circ\text{C}$		
			5. Kennbuchstabe/5th letter C	400	$\text{V}/\mu\text{s}$
			5. Kennbuchstabe/5th letter F	1000	$\text{V}/\mu\text{s}$
Charakteristische Werte		Characteristic values			
U_T	Obere Durchlaßspannung	max. on-state voltage	$t_d = 25^\circ\text{C}, I_T = 5,6 \text{ kA}$	2,15	V
$U_{(ro)}$	Schleusenspannung	threshold voltage	$t_d = 125^\circ\text{C}$	1,05	V
r_T	Ersatzwiderstand	slope resistance	$t_d = 125^\circ\text{C}$	0,185	$\text{m}\Omega$
U_{GT}	Obere Zündspannung	max. gate trigger voltage	$t_d = 25^\circ\text{C}, U_D = 6 \text{ V}, R_A = 2 \Omega$	2	V
I_{GT}	Oberer Zündstrom	max. gate trigger current	$t_d = 25^\circ\text{C}, U_D = 6 \text{ V}, R_A = 2 \Omega$	250	mA
	Unterer Zündstrom	min. gate trigger current	$t_d = 125^\circ\text{C}, U_D = 6 \text{ V}, R_A = 2 \Omega$	10	mA
I_H	Oberer Haltestrom	max. holding current	$t_d = 25^\circ\text{C}, U_D = 6 \text{ V}, R_{ok} \geq 10 \Omega$	500	mA
I_L	Oberer Einraststrom	max. latching current	$t_d = 25^\circ\text{C}, U_D = 6 \text{ V}, R_{ok} \geq 10 \Omega$	2,5	A
I_D, I_R	Oberer Vorwärts- und Rückwärts-Sperrstrom	max. forward off-state and reverse currents	Steuergenerator/pulse generator: $I_g = 1 \text{ A}, di_g/dt = 1 \text{ A}/\mu\text{s}, t_d = 20 \mu\text{s}$	150	mA
t_{gd}	Oberer Zündverzug	max. gate controlled delay time	$t_d = 125^\circ\text{C}, U_D = U_{DRM} (U_R = U_{RRM})$	4	μs
t_q	Typische Freiwerdezeit	typical turn-off time	Steuergenerator/pulse generator: $I_g = 1 \text{ A}, di_g/dt = 2 \text{ A}/\mu\text{s}$	280	μs
C_{null}	Typische Nullkapazität	typical zero capacitance	Prüfbedingungen Seite/test conditions page 21 $t_d = 25^\circ\text{C}, f = 10 \text{ kHz}$	14	nF
Thermische Eigenschaften		Thermal properties			
R_{thJC}	Innerer Wärmewiderstand für beidseitige Kühlung	thermal resistance, junction to case for two-sided cooling	$\Theta = 180^\circ\text{el}, \text{sinus}$	$\leq 0,021^\circ\text{C}/\text{W}$	
$R_{thJC(A)}$	für anodenseitige Kühlung	for anode-sided cooling	DC	$\leq 0,02^\circ\text{C}/\text{W}$	
$R_{thJC(K)}$	für kathodenseitige Kühlung	for cathode-sided cooling	$\Theta = 180^\circ\text{el}, \text{sinus}$	$\leq 0,036^\circ\text{C}/\text{W}$	
R_{thCK}	Wärmewiderstand für einen Übergang zwischen Gehäuse und Kühlkörper	single sided thermal resistance, case to heatsink	DC	$\leq 0,035^\circ\text{C}/\text{W}$	
	Betriebstemperatur	operating temperature	$\Theta = 180^\circ\text{el}, \text{sinus}$	$\leq 0,048^\circ\text{C}/\text{W}$	
	Lagertemperatur	storage temperature	DC	$\leq 0,047^\circ\text{C}/\text{W}$	
				0,008°C/W	
				-40°C...+125°C	
				-40°C...+150°C	
Mechanische Eigenschaften		Mechanical properties			
G	Gewicht	weight T1200 N/T1209 N		600 g/540 g	
F	Anpreßkraft	clamping force		20...30 kN	
	Maßbilder	outlines T1200 N/T1209 N		Seite/page 236	
	Kriechstrecke	creepage distance T1200 N/T1209 N		25 mm/32 mm	
	Feuchteklass.	humidity classification	DIN 40040	C	
	Schüttelfestigkeit	vibration resistance	$f = 50 \text{ Hz}$	$5 \times 9,81 \text{ m/s}^2$	

T1200 N
T1209 N

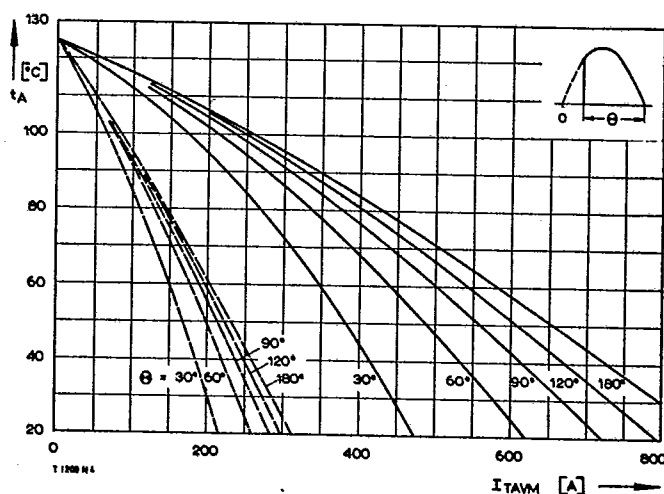
Bild/Fig. 1
Durchlaßkennlinien/On-state characteristics
a - Typische Kennlinien/typical characteristics
b - Grenzkennlinien/limiting characteristics



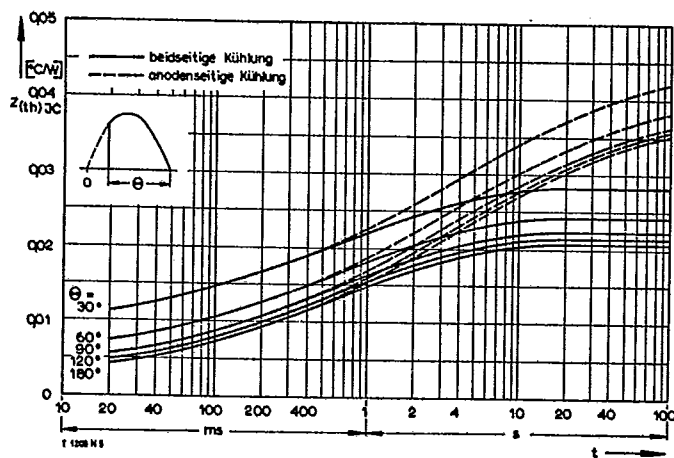
Bild/Fig. 2
Durchlaßverlustleistung P_T /On-state power loss P_T
Parameter: Stromflußwinkel Θ /current conduction angle Θ



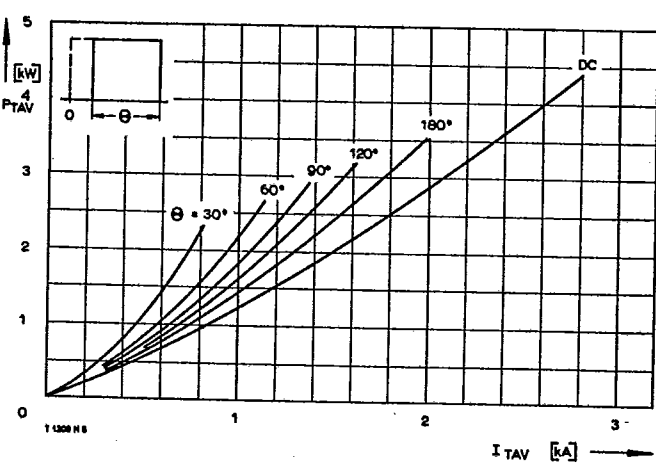
Bild/Fig. 3
Höchstzulässige Gehäusetemperatur t_c
Maximum allowable case temperature t_c
— anodenseitige Kühlung/anode sided cooling
— beidseitige Kühlung/two-sided cooling



Bild/Fig. 4
Höchstzulässige Kühlmittelttemperatur t_A bei Betrieb auf Kühlkörper K0.05F.
Maximum allowable cooling medium temperature t_A , heatsink type K0.05F.
— Luftselbstkühlung/natural cooling
— verstärkte Luftkühlung/forced cooling, $V_L = 120 \text{ l/s}$



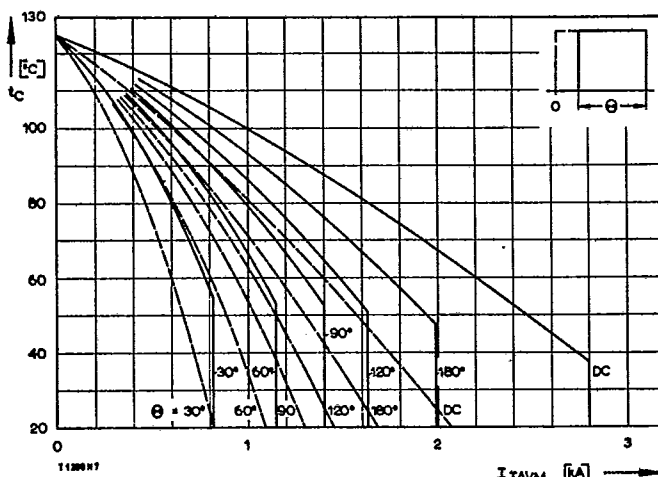
Bild/Fig. 5
Transienter innerer Wärmewiderstand $Z_{(th)JC}$
Transient thermal impedance, junction to case, $Z_{(th)JC}$, at two-sided cooling
— anodenseitige Kühlung/anode sided cooling
— beidseitige Kühlung/two-sided cooling



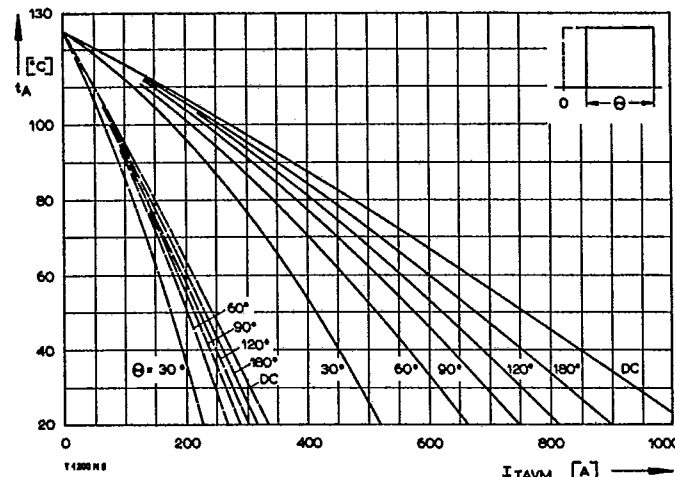
Bild/Fig. 6
Durchlaßverlustleistung P_T /On-state power loss P_T
Parameter: Stromflußwinkel Θ /current conduction angle Θ

T1200 N

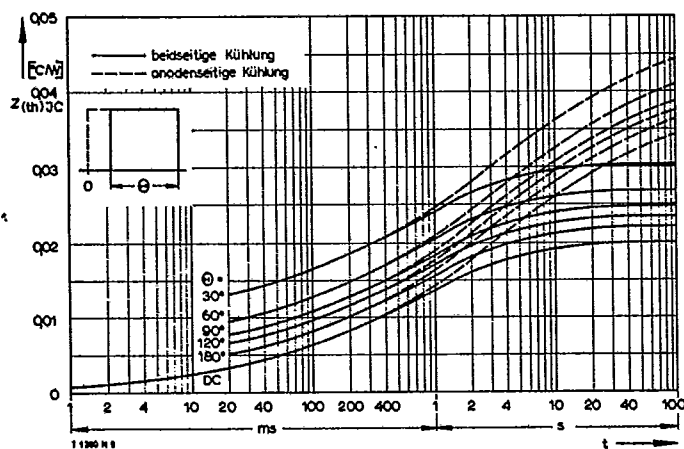
T1209 N



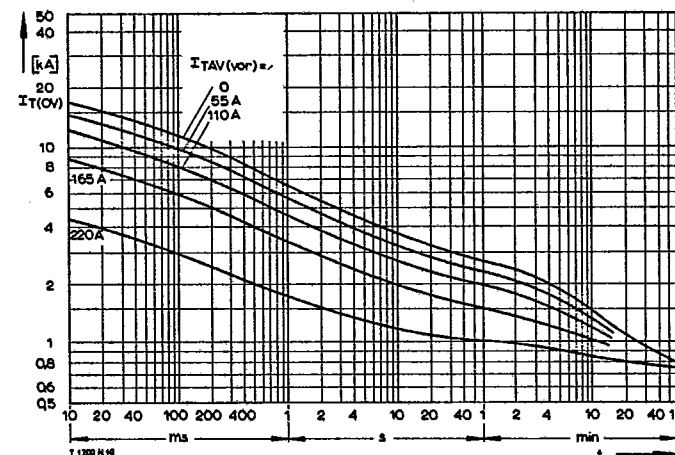
Bild/Fig. 7
Höchstzulässige Gehäusetemperatur t_C
Maximum allowable case temperature t_C
— - - - anodenseitige Kühlung/anode sided cooling
— — — beidseitige Kühlung/two-sided cooling



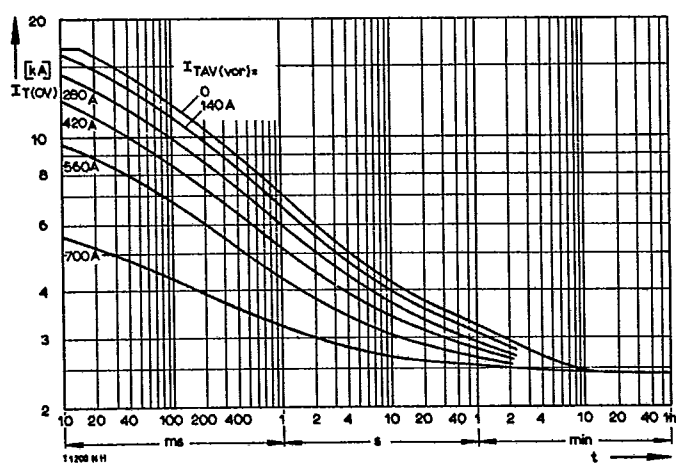
Bild/Fig. 8
Höchstzulässige Kühlmittelttemperatur t_A bei Betrieb auf Kühlkörper K0,05 F.
Maximum allowable cooling medium temperature t_A , heatsink type K0.05 F.
— - - - Luftselbstkühlung/natural cooling
— — — verstärkte Luftkühlung/forced cooling, $V_L = 120 \text{ l/s}$



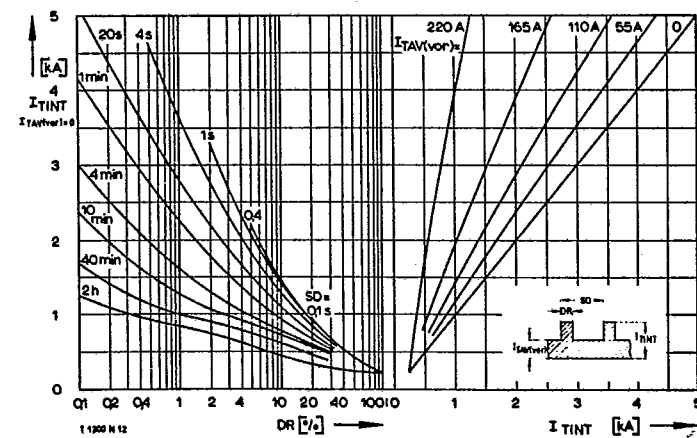
Bild/Fig. 9
Transienter innerer Wärmewiderstand $Z_{(th)JC}$
Transient thermal impedance, junction to case, $Z_{(th)JC}$
— - - - anodenseitige Kühlung/anode sided cooling
— — — beidseitige Kühlung/two-sided cooling



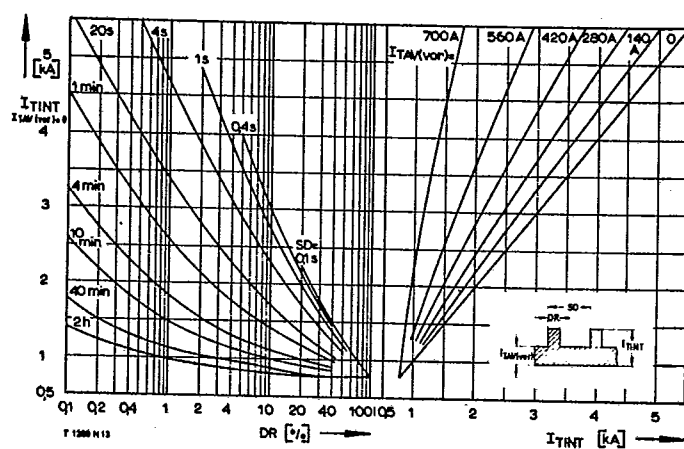
Bild/Fig. 10
Überstrom $I_{T(OV)}$ bei Luftselbstkühlung, $t_A = 45^\circ\text{C}$, Kühlkörper K0,05 F.
Overload on-state current $I_{T(OV)}$ at natural cooling, $t_A = 45^\circ\text{C}$,
heatsink type K0.05 F.
Parameter: Vorlaststrom/pre-load current $I_{TAV(vor)}$



Bild/Fig. 11
Überstrom $I_{T(OV)}$ bei verstärkter Luftkühlung, $t_A = 35^\circ\text{C}$,
Kühlkörper K0,05 F, $V_L = 120 \text{ l/s}$.
Overload on-state current $I_{T(OV)}$ at forced cooling, $t_A = 35^\circ\text{C}$,
heatsink type K0.05 F, $V_L = 120 \text{ l/s}$.
Parameter: Vorlaststrom/pre-load current $I_{TAV(vor)}$

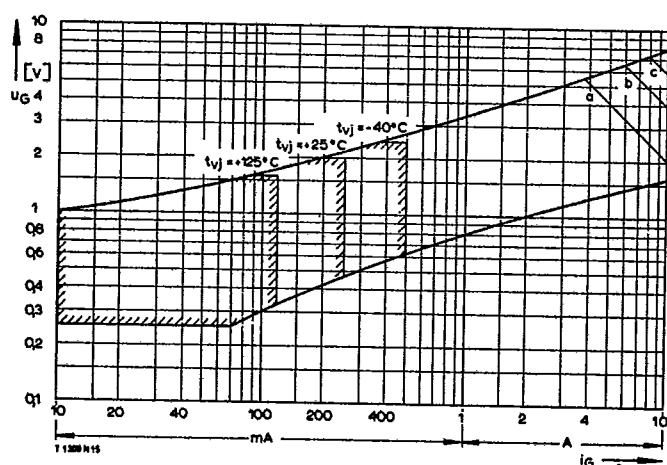


Bild/Fig. 12
Höchstzulässiger Durchlaßstrom I_{TINT} bei Aussetzbetrieb und Luftselbstkühlung,
 $t_A = 45^\circ\text{C}$, Kühlkörper K0,05 F.
Limiting on-state current I_{TINT} during intermittent operation at natural cooling,
 $t_A = 45^\circ\text{C}$, heatsink type K0.05 F.
Parameter: Spieldauer/cycle duration SD
Vorlaststrom/pre-load current $I_{TAV(vor)}$

T1200 N
T1209 N

Bild/Fig. 13

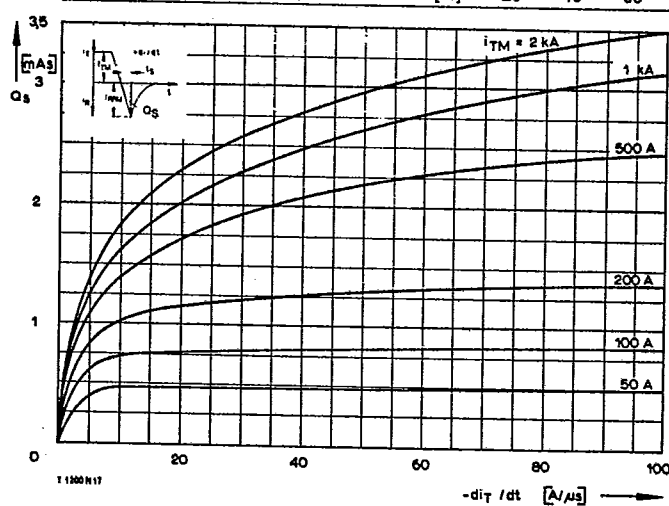
Höchstzulässiger Durchlaßstrom $I_{T(ON)}$ bei Aussetzbetrieb und verstärkter Luftkühlung, $t_A = 35^\circ\text{C}$, Kühlkörper K0,05 F, $V_L = 120$ l/s.
Limiting on-state current $I_{T(ON)}$ during intermittent operation at forced cooling,
 $t_A = 35^\circ\text{C}$, heatsink type K0.05 F, $V_L = 120$ l/s.
Parameter: Spielzeit/cycle duration SD
Vorlaststrom/pre-load current $I_{TAV(vor)}$



Bild/Fig. 15

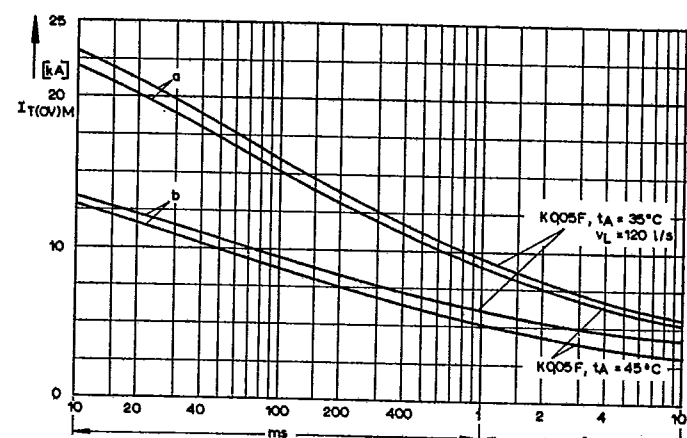
Zündbereich und Spitzensteuerleistung bei $u_0 \geq 6$ V.
Gate characteristic and peak gate power dissipation at $u_0 \geq 6$ V.

Parameter:	a	b	c
Steuerimpulsdauer/Pulse duration t_g [ms]	10	1	0,5
Höchstzulässige Spitzensteuerleistung/ Maximum allowable peak gate power [W]	20	40	60



Bild/Fig. 17

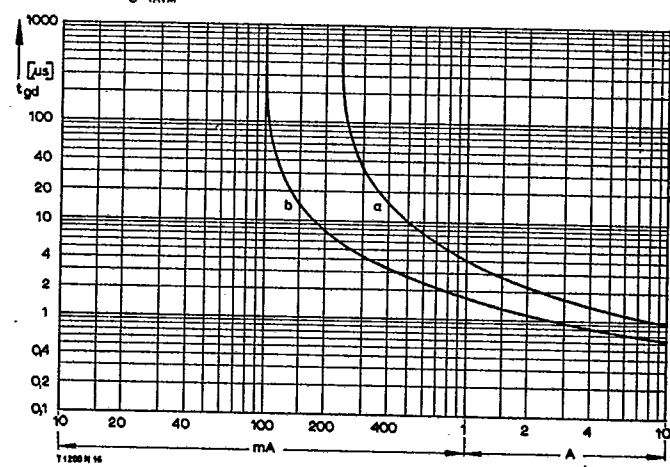
Nachlaufladung Q_S in Abhängigkeit von der abkommunizierenden Stromsteilheit $-di/dt$ bei $t_{VJ} = 125^\circ\text{C}$.
Der angegebene Verlauf wird von 90% aller Thyristoren nicht überschritten.
Lag charge Q_S versus the rate of decay of the forward on-state current $-di/dt$ at $t_{VJ} = 125^\circ\text{C}$. - These curves are valid for 90% of all thyristors.



Bild/Fig. 14

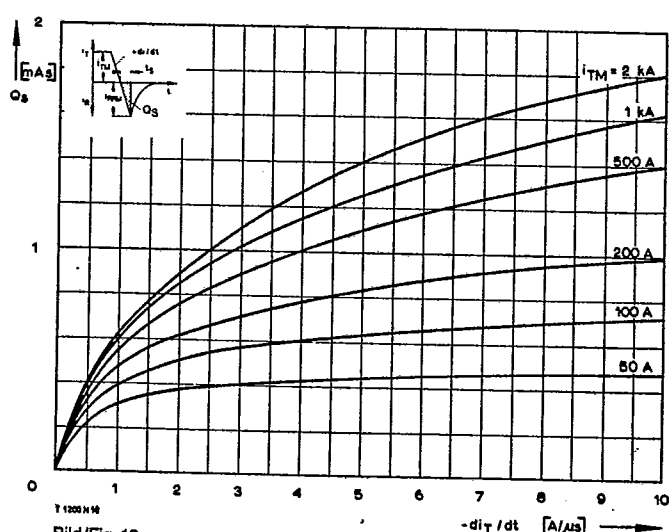
Grenzstrom $I_{T(ON)M}$ bei Luftseltkühlung und verstärkter Luftkühlung, Kühlkörper K0,05 F, $U_{RM} = 0,8 U_{RPM}$.
Limiting overload on-state current $I_{T(ON)M}$ at natural and forced cooling, heatsink type K0.05 F, $u_{RM} = 0.8 u_{RPM}$.

- a — Belastung aus Leerlauf/current surge under no-load conditions
- b — Belastung im Anschluß an Betrieb mit Dauergrenzstrom I_{TAVM} /current surge occurs during operation at limiting mean on-state current rating I_{TAVM}



Bild/Fig. 16

Zündverzug t_{gd} nach DIN 41787 bei $t_{VJ} = 25^\circ\text{C}$, $t_g = 1$ μs .
Gate controlled delay time t_{gd} to DIN 41787 at $t_{VJ} = 25^\circ\text{C}$, $t_g = 1$ μs .
a — äußerster Verlauf/limiting characteristic
b — typischer Verlauf/typical characteristic



Bild/Fig. 18

Ausschnitt aus Bild 17/Detail of fig. 17.